

III-264 シールドトンネル掘削の際の応力解放に伴う圧密沈下の解析

早稲田大学 理工学部 正会員 森 雄

同大学院 赤木 寛一

○同大学院(現三菱重工業株) 正会員 小野 晶俊

1. まえがき

軟弱粘性土地盤でシールド工事が行なわれた場合、しばしば数cm以上の圧密沈下が発生する。本研究では、シールド掘削の際の応力解放で地山がセン断による乱れを受けることによって圧密が発生することに着目し、土の乱れ程度と圧密体積収縮率との関係を求め、その関係を用いて地下水位の変動がない場合のシールド掘削に伴う乱れによる地山の最終圧密沈下量の概算を試みた。

2. 亂れによる圧密沈下の発生機構

シールド掘削に伴う応力解放によって地山の平均主応力は減少する。しかし、地山が変形してセグメントリングまたは裏込めグラウトに接すると次第に平均主応力は回復しはじめ、最終的には初期の応力状態に近くなる。この様な経過から、地山の平均主応力は増加することはないので、一般的な有効応力の増加による圧密は発生しない。しかし、土がセン断による乱れを受けるために土粒子の骨格構造が変化し、圧縮に対する土の抵抗力が減少するために、正力が不变あるいはやや減少しても圧密が発生する。

3. 亂れによる圧密沈下の解析

このように、乱れによる圧密現象は一般的の圧密とは異なるので、その沈下解析を行なうに当っては、一般的の圧密理論は適用できない。そこで、土の乱れ程度に基く圧密体積収縮率がその土の受けたセン断ヒズミによつて一義的に表わされるものと仮定し、次の様な方法によつて乱れによる地山の最終圧密沈下量を算定した。

今回の解析では、飽和単位体積重量 $\gamma_{sat} = 1.6 \text{ t/m}^3$ 、内部摩擦角 $\phi = 0^\circ$ の均一な正規圧密飽和粘性土地盤内の地下20mの地点で、半径 $R_0 = 2.0\text{m}$ のシールド掘削が行なわれた場合を想定し、地下水位の変動はないものとした。実験に用いた試料は、東京江東地区の現場より採取したシルト質粘土をミキサーで練返した後、大型圧密土作成装置によつて、最終圧密圧 0.8 kN/cm^2 にて約1ヶ月圧密させたもので、鉛錠比は約5.5であった。

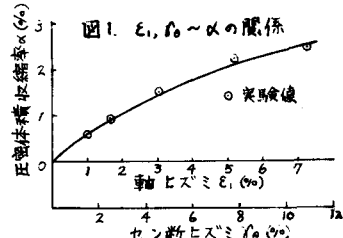
(1) セン断ヒズミ γ_0 と圧密体積収縮率 ϵ_1 との関係

最初に次の様な実験を行なつて、セン断ヒズミ γ_0 と乱れによる圧密体積収縮率 ϵ_1 との関係を決定した。すなわち、まず大型圧密土作成装置によつて作成した試料より直徑5cm高さ10cmの供試体を切り出し、三軸室内で圧密荷重 $P_0 = 0.8 \text{ kN/cm}^2$ にてペーパードレンを併用して48時間圧密させた。圧密終了後非排水状態で三軸圧縮試験を行ない軸ヒズミをえた。所定の軸ヒズミに到達した後、圧力を再び初期の P_0 にもどし、再度圧密させた。この2度目の圧密の際の排水量を乱れによる圧密量とし、さらにこれを供試体体積で割りたものを圧密体積収縮率 ϵ_1 とした。以上の操作を軸ヒズミ γ_0 を1.0~7.3%の5種類に変化させて行ない、 γ_0 と ϵ_1 との関係を求めた(図1)。ところで、供試体の等方弹性を仮定し、ホアンソン比 J を0.5とすれば $\gamma_0 = \epsilon_1 - \epsilon_3 = 1.5\epsilon_1$ の関係があるから、 ϵ_1 と γ_0 の関係は直ちに γ_0 と ϵ_1 の関係へと変換される。

(参考) 土被り20mの地点における船底有効応力は 1.2 kN/cm^2 であり、また静止土圧係数 K_0 を0.5とすれば、水平有効応力は 0.6 kN/cm^2 である。従つて平均主応力は 0.8 kN/cm^2 となる。

(2) 有限要素法によるセン断ヒズミの解析

次に、掘削によつて発生すると考えられるセン断ヒズミ γ_0 の分布を有限要素法によつて求めた(図2)。この解析では三角形要素及び双曲線応力ヒズミ関係を用い、地山がセグメントリングに接した時は、リングによる変位の拘束を考慮した。すなわち、セグメントリングは半径 $R_0 = 1.95\text{m}$ の剛体で不動であり、リングの最下点は初めから地山に接しているものとした。さらに、地山が変形してリングに接した時点でのり部分はリング周上に固定され、その部分における応力解放は終了するものとした。この解析の結果 γ_0 はシールド周辺要素で最大7.96%となつた。



また図2によれば、 γ の等值線はトンネルの上方45°の方向に発達しており、その方向で地山が大きな乱れを受けていることが考察される。

(3) 亂れによる圧密沈下量の算定

(1)の実験結果及び(2)の解析結果を用いて、乱れによる圧密沈下量の算定を行なった。その手順は次に示すとおりである。(図3参照)

① セン断ヒズミの領域を細かく分割する。(A,B,C,D,...)

② 例えばそり細分化された領域の1/Aに注目する。この領域はセン断ヒズミが0.5%以上1.0%未満の領域であるから、0.75%の均一なセン断ヒズミを受けている領域とみなすと、それに相当する圧密体積収縮率 ϵ_A は、

図1より0.3141%である。従て領域Aの体積を V_A とすれば、この領域内の圧密収縮体積 ΔV_A は $\Delta V_A = 0.003141 \cdot V_A$ となる。

③ 次に領域Aの中央部(図3の斜線部)で落し戸現象が発生するものと仮定する。この時、落し戸体積を圧密収縮体積 ΔV_A に等しくとる。この落し戸現象によって発生する地表面及び地中の沈下量は次式で表わされる。(文献2参照)

$$\begin{aligned} & \text{・ } 0 \leq x_A \leq l_A \quad \delta_{A1} = \frac{\Delta A}{2} \left(\sqrt{1 - e^{-\frac{(x_A + l_A)^2}{2\sigma_A^2}}} + \sqrt{1 - e^{-\frac{(l_A - x_A)^2}{2\sigma_A^2}}} \right) \\ & \text{・ } x_A \geq l_A \quad \delta_{A2} = \frac{\Delta A}{2} \left(\sqrt{1 - e^{-\frac{(x_A + l_A)^2}{2\sigma_A^2}}} - \sqrt{1 - e^{-\frac{(x_A - l_A)^2}{2\sigma_A^2}}} \right) \end{aligned}$$

ただし、 x_A : 落し戸幅 δ_A : 沈下量 $2l_A \cdot \delta_A = \Delta V_A$

$2w_A$: 沈下影響領域、深さの関数

σ_A : 沈下曲線の変曲点までの距離 \times 深さの関数。一般に $w_A = 2.13 \sigma_A$

④ 以上の計算をそれぞれの細分化された領域(B,C,...)について行ないそれらを重ね合せば、地表面及び地中での最終圧密沈下量が求まる。この方法にて0.5%の全ての領域を対象として求めた地表面及び地中の圧密沈下の状況を図4に示す。また、有限要素解析によって求めた応力解放による即時沈下の状況も図上に示す。図によれば、トンネル中心線上では圧密沈下曲線と即時沈下曲線は形状が似ており、トンネルクラウンに近いほど大きな沈下が生じている。しかし中心線より5.25m離れた地点における圧密沈下曲線によればトンネルクラウンと地表面の中間部で沈下が最大となることがわかる。

4. 結語

解析結果(図4)によれば、トンネル直上地表面において圧密沈下量は3.38cm、即時沈下量は3.47cmとなつた。このことから、シールド掘削の際に発生する沈下の中で、圧密沈下の占める割合は非常に大きなものだといふことができる。しかも、今回の実験で用いた試料は鉄敏比が5.5と低く、鉄敏比が20前後の現場の土の場合にはより大きな圧密沈下が発生することが予想される。さらに、今回の解析ではセグメントを挿入して変形を拘束したために応力解放は44%程度しか行なわれず、周辺地山に発生するセン断ヒズミも最大で7.46%であったが、同じ地盤条件を用い、変形を拘束しない条件でヒズミ解析を行なつた結果、セン断ヒズミは最大20.7%となつた。以上の考察から、シールド掘削の圧密沈下を防止するためには、応力解放の際の地山の変形を極力小さくすることが必要であり、そのためには、シールドテール通過後ただちに地山を乱さぬよう裏込め注入を行なうのが効果的であると思われる。

〈参考文献〉1. 森 雄勝: シールド工事による軟弱地盤の圧密沈下

第5回 最近のシールド工法 講習会テキスト(昭53.7)

2. 西尾富明: Aversin等の仮説による地盤の不等沈下の評価について 東京ガス総合研究所報(昭51.7)

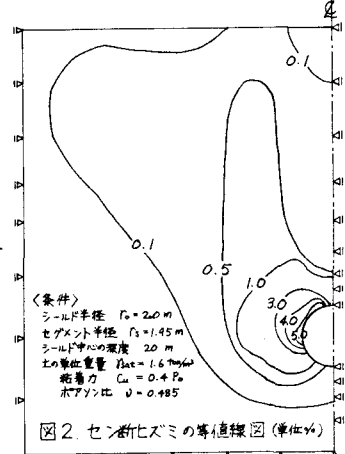


図2. セン断ヒズミの等值線図(単位%)

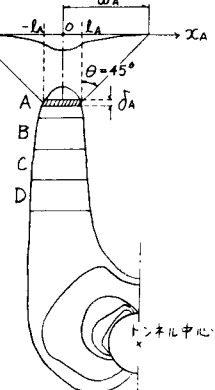


図3 分割落し戸による圧密沈下量の算定

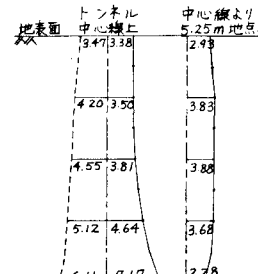


図4. 地表面及び地中の沈下状況
—圧密沈下
---即時沈下
(単位cm) トンネル中心